

掘削泥壁面の安定機構に関する基礎的研究(2次元的粒状体による)

高知工業高等専門学校 正・大谷亘

" " 正・吉田泰治

" " 秋山幸二郎

1 まえがき

著者等は、泥水工法における掘削泥壁面の安定機構を明らかにするために、研究を続けている。本報告は、地盤の深さ方向を無視して2次元モデルに置き換えて問題を単純化するとともに、土を連續体ではなく、2次元的粒状体であるとみなして、泥壁面後方の地盤の破壊形状等について実験的に突明したものである。

2 実験概要

図-1が、地盤の2次元モデルである。地盤に相当する部分は、ほぼ均一な、直径2.2mm、長さ6mmのエポキシ丸棒により構成され、丸棒は最も密な正六角形配置に規則的に並べられている。なお、この配置状態は、

図-1の固定壁と可動壁に接する丸棒の並び方の相違により 図-2に示すような#1配列と#2配列に分けられるので、この2種類の2次元的粒状体について実験を行った。また、固定壁と可動壁にもエポキシ板を用いているので、モデルを円偏光場内に置くことにより光弾性実験を行い、力の伝達状態を観察した。光弾性実験装置の都合により、モデルは壁面が上に位置するようにセットしたが、これは重力が丸棒に及ぼす影響を除外するためである。

静止土圧として、水銀柱により得た圧力をゴム袋を介して、図-1に示すようにモデルの周辺に均等に加えた。この外部荷重は、 $\sigma_0 = 2.13 \text{ kg/cm}^2$ である。応力解放は、可動壁を0.45mmずつ変位させることにより行った。この実験に用いた2次元的粒状体の内部摩擦角は、一面せん断試験によると、28.5°である。

3 実験結果と考察

#1配列の場合、可動壁を0.45mm変位させた段階で、写真-1に示すように、2次元的粒状体内部に、可動壁面と底辺とする底角30°の2等辺三角形の等辺に沿って、強く力が伝達されている状況が認められた。丸棒の光弾性的性質が良好でないので、別に作製した直径5.41mmの良質なエポキシ丸棒を応力検定片として、この三角形の内側と外側に挿入して、力の伝達状況をより詳しく観察したものが写真-2, 3である。この写真によると、0.45mm変位させた後は、三角形の内部はほぼ無応力状態になり、力はほとんど伝達されていないことがわかる。

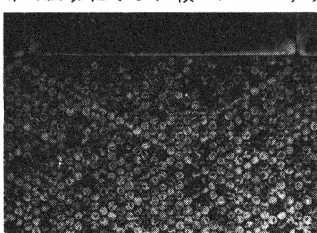


写真-1

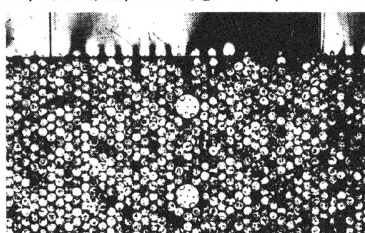


写真-2

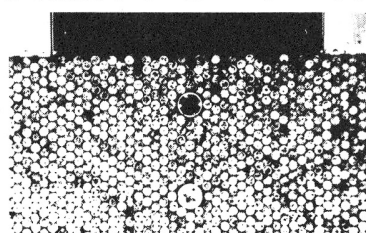


写真-3

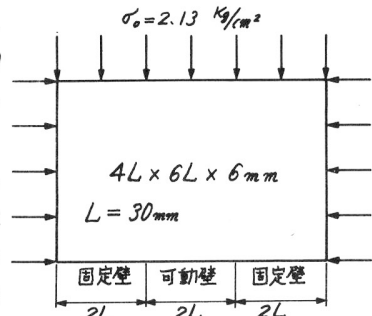


図-1 実験条件

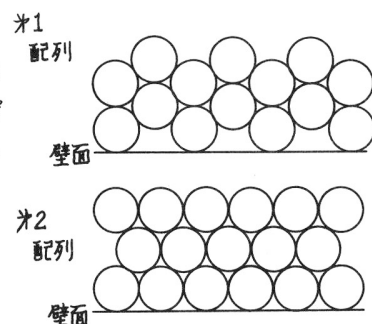


図-2 粒子の配置状態

この変位前と後の壁面反力の大きさを、光弾性写真とともにし
て、仮に、壁面に密着している丸棒が、一点集中荷重として機能
し、かつ相互干渉が無いものとして逆算して図示したものが図-3
である。変位後には、可動壁面上の反力は無く、三角形内部では
力はほとんど伝達されていないことを裏づけている。また、可動
壁面に作用していた力は、変位後には、固定壁面上に再配分され
反力が増加していることもわかる。さらに、丸棒の移動状況をみ
るために、以上の2段階の写真を重ね写ししたが、変位が少いため
写真上には顕著な移動は認められないものの、以上の二等辺三
角形内部は、地盤破壊の一次領域であると考えられる。

続いて、可動壁を 0.45mm ブツ変位させた 3.6mm に至るまでの丸棒
の移動状況を、重ね写したもののが写真-4である。静止した丸棒
により形成された多角形に囲まれた領域が、地盤破壊の二次領域
であると考えられる。

次に、オ2配列の粒状体について、オ1配列の場合と同様な実
験を行った。写真-5は、可動壁を 1.35mm 変位させた段階までの
重ね写し写真であり、可動壁を一辺とする正三角形の内部は、破
壊の一次領域である。写真-6は、可動壁を 5.85mm 変位させた段
階までの重ね写し写真である。一次領域の正三角形に、合同な正
三角形が2個追加された領域は、破壊の二次領域である。

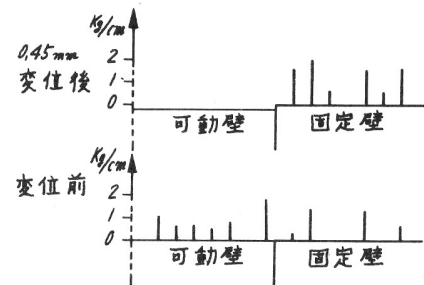


図-3 壁面反力

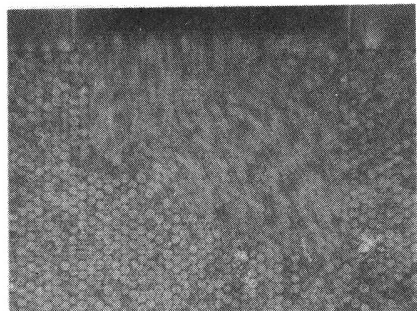


写真-4

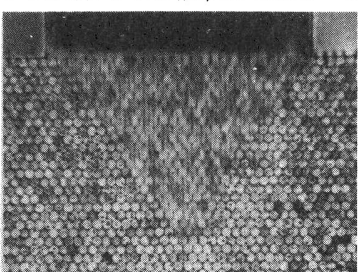


写真-5

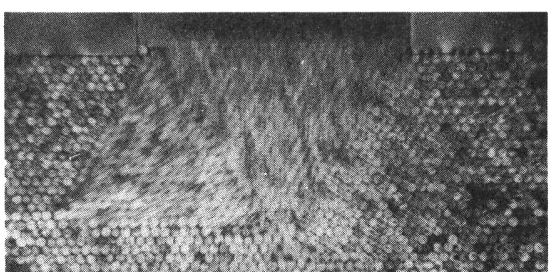


写真-6

4まとめ 図-4、図-5に、以上の破壊の領域をまとめて図示する。 L は可動壁の半幅である。これらの領域は、すべて、隣り合う丸棒断面の接点を連ねた直線上で生じている。この事実は、可動壁の変位に伴う丸棒の移動に起因する粒状体地盤の弛緩は、破壊領域周辺の粒子の閉塞により防げられること、および、閉塞は、隣接する粒子の接点を連ねた直線方向で生じ、この方向に力が再伝達されることにより、壁面反力を再分配されることを示している。今後は、粒径の異った丸棒からなる2次元的粒状体を用いて検討を重ねるとともに、材料の光弾性的性質の向上を
はかる予定である。

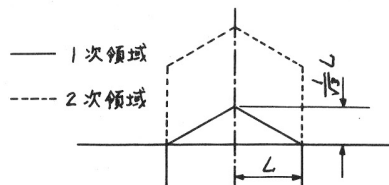


図-4 破壊領域(オ1配列)

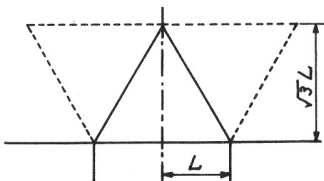


図-5 破壊領域(オ2配列)

5 参考文献

村山、松岡 “砂質土中のトンネル土圧に関する基礎的研究” 土木学会論文報告集第187号、1971年3月